

مقاله پژوهشی

مجله دانشگاه علوم پزشکی رفسنجان

دوره ۱۹، اردیبهشت ۱۳۹۹-۱۵۴

طراحی و سنتز مشتقات جدید N-(فنوکسی اتیل) تئوبرومین و ارزیابی سمیت سلوی آنها به روش برون تنی همراه با مطالعه داکینگ مولکولی: یک مطالعه آزمایشگاهی

احسان فقیه میرزا^۱، عالیه عامری^۲، حمید فروتن فر^۳، حسینیه السادات روح‌الامینی^۳، محمدثه شمس‌الدینی‌پور^۴، ماندان‌آ جعفری^۵

پذیرش مقاله: ۹۸/۱۱/۲۹

دریافت اصلاح‌جایه از نویسنده: ۹۸/۱۱/۲۶

ارسال مقاله به نویسنده جهت اصلاح: ۹۸/۸/۴

دریافت مقاله: ۹۸/۶/۱۷

چکیده

زمینه و هدف: سلطان به عنوان یکی از معضلات عمدۀ سلامت، یکی از علت‌های اصلی مرگ و میر در سطح جهان می‌باشد. مشتقات گزانتین از جمله تئوبرومین، یک دسته از ترکیبات مؤثر در کنترل سلطان می‌باشند. در این مطالعه یک‌سری مشتقات جدید فنوکسی اتیل تئوبرومین با استخلاف در موقعیت N1 طراحی و فعالیت سمیت سلوی آن‌ها ارزیابی شد. همچنین، مطالعات داکینگ مولکولی جهت پیش‌بینی مکانیسم احتمالی آن‌ها انجام شد.

مواد و روش‌ها: در این مطالعه آزمایشگاهی، ابتدا، ترکیبات ۲، ۳ و ۵a-۱ سنتز شدند. سمیت سلوی تمام ترکیبات جدید سنتز شده با روش رنگ‌سنجدی بر پایه MTT (Methylthiazolydiphenyl-tetrazolium bromide)، علیه ۴ رده سلوی سلطانی انسان مورد مطالعه قرار گرفتند. نرم افزار Autodock برای تعیین انرژی‌های اتصال این ساختارها بر روی آنزیم‌های تراهیدروفولات ردوکتاز انسانی، اکتو-۵-نوكلئوتیداز انسانی (e5NT) و فسفودی استراز انسانی استفاده شد. داده‌ها با استفاده از آنالیز واریانس یک‌طرفه تجزیه و تحلیل شدند.

یافته‌ها: نتایج حاصل از مطالعات داکینگ، انرژی اتصال پذیری قابل قبولی (۸/۴۲ kcal/mol) را در برابر e5NT نشان داد. نتایج حاصل از بررسی سمیت سلوی نشان داد که بیشترین اثر سمیت سلوی علیه سلول A549 و MCF-7 رخ داده است (ترکیب با IC₅₀ برابر با ۸۶/۶۵ و ۱۶۱/۰۹ میکرومولا).

نتیجه‌گیری: نتایج مطالعات داکینگ مولکولی، انرژی اتصال قابل قبولی در برابر آنزیم اکتو-۵-نوكلئوتیداز نشان داد. در میان مشتقات سنتز شده، ترکیب ۵a با پایین‌ترین سطح ΔG (۸/۴۲ kcal/mol) به عنوان بهترین مهارکننده این آنزیم انتخاب شد. اثرات مناسب سمیت سلوی در غلظت‌های مختلف ترکیبات سنتز شده بر روی رده‌های سلوی MCF7 و A549 مشاهده شد.

واژه‌های کلیدی: سمیت سلوی، مدل سازی مولکولی، مشتقات تئوبرومین، سنتز

۱- استادیار گروه آموزشی شیمی دارویی، دانشکده داروسازی، دانشگاه علوم پزشکی کرمان، کرمان، ایران

۲- (نویسنده مسئول) استادیار گروه آموزشی شیمی دارویی، دانشکده داروسازی، دانشگاه علوم پزشکی کرمان، کرمان، ایران

تلفن: ۰۷۲-۳۱۳۲۵۱۷۲، دورنگار: ۰۳۴-۳۱۳۲۵۰۰۳، پست الکترونیکی: ameri60@gmail.com , al_ameri@kmu.ac.ir

۳- دانشیار، مرکز تحقیقات علوم دارویی و فرآورده‌های آرایشی، دانشگاه علوم پزشکی کرمان، کرمان، ایران

۴- دکتری داروسازی، مرکز تحقیقات فارماسیوتیکس، دانشکده داروسازی، دانشگاه علوم پزشکی کرمان، کرمان، ایران

۵- کارشناس ارشد شیمی آلی، مرکز تحقیقات فارماسیوتیکس، دانشکده داروسازی، دانشگاه علوم پزشکی کرمان، کرمان، ایران

۶- کارشناس ارشد میکروبیولوژی، مرکز تحقیقات گیاهان دارویی و طب سنتی، دانشگاه علوم پزشکی کرمان، کرمان، ایران

مقدمه

مشتقات گزانتین‌ها هستند [۵]. تئوبرومین یک آلکالوئید تلخ است که عمدتاً در گیاه کاکائو یافت می‌شود. این ترکیب در شکلات، برگ گیاه چای و دانه‌های گیاه کولا وجود دارد. علاوه بر این، این ترکیب در بعضی از داروها نیز موجود است [۸]. گزارش‌های متعدد نشان داده است که استفاده همزمان از کافئین با عامل شیمی درمانی باعث افزایش اثرات ضد سرطان برای استخوان و سارکوم بافت‌های نرم می‌شود [۹]. مشتقات گزانتین‌ها از جمله تئوبرومین می‌تواند در چرخه سلولی checkpoint G2 را که برای ترمیم دزوکسی ریبونوکلئیک اسید (DNA) آسیب دیده ضروری است، مهار کنند [۱۰]. استفاده از مشتقات گزانتین ممکن است حساسیت سلول‌های تومور به ترکیباتی که ترمیم کننده تخریب‌های DNA هستند را افزایش دهد [۵]. مکانیسم دیگری که تئوبرومین می‌تواند با سرطان مبارزه کند مهار ارتباط درون سلولی بین شکاف (junctional communication) است که به شدت با سرطان زایی به خصوص در روند پیشرفت تومور در انواع مختلف سرطان‌ها از جمله سرطان کبد، معده و سرطان روده بزرگ ارتباط دارد [۸].

مشتقات گزانتین می‌تواند انتقال داروهای ضد تومور را از طریق غشای سلولی افزایش دهد [۲]. مطالعه دیگری نشان داد که متیل گزانتین‌ها اثرات ضد توموری مربوط به آلکیله کننده‌ها، که می‌تواند به جلوگیری از ترمیم DNA نسبت داده شود، را تشدید کنند. از این‌رو این عامل میزان مرگ و میر عوامل آلکیله کننده در برابر سلول‌های تومور را افزایش می

سرطان یک بیماری است که با تغییر مکانیسم‌های کنترل حاکم بر بقاء سلول، تکثیر و تمایز مشخص می‌شود. دلایل سرطان بسیار و متنوع است (به عنوان مثال، عوامل شیمیایی، محیطی، ویروسی و جهش‌زا)، اما همه این عوامل در نهایت منجر به ایجاد بی‌نظمی در بیان پروتئین انکوژن‌ها که عوامل کنترل زندگی طبیعی سلول می‌باشند، می‌شوند. درمان سرطان می‌تواند شامل جراحی، پرتودرمانی، شیمی درمانی آنتی نئوپلاستیک و غیره باشد [۱].

در حال حاضر عوامل شیمی درمانی به طور کلی در درمان سرطان استفاده می‌شود. با این حال، با بیشتر این عوامل، مشکلات جدی به لحاظ سمیت جانبی و ظهور سلول‌های مقاوم وجود دارد [۲]. بسیاری از سرطان‌ها هنوز به شیمی درمانی پاسخ نمی‌دهند و دیگر سرطان‌هایی که در ابتدا پاسخ می‌دهند، ممکن است بعداً مقاوم شوند. بنابراین شیمی درمانی هنوز ناکافی می‌باشد و تمایل فراوانی برای کشف ترکیبات جدید با فعالیت‌های ضد سرطان قوی تر وجود دارد [۳-۴]. گزانتین‌ها و مشتقات آن‌ها یک گروه از آلکالوئیدها هستند که در گیاهان یافت می‌شوند. گزانتین‌ها اسکلتی مشابه با پورین‌ها دارند [۵]. این ساختارهای پورین مانند به عنوان عامل درمانی در بیماری آلزایمر، آسم، سرطان، دیابت، درمان درد، پارکینسون، عوارض کلیوی، دیورتیک، بیماری‌های تنفسی [۵]، التهاب، بهبود هوشیاری و شناخت، افسردگی [۶]، بیماری عروقی محیطی و بیماری مغز و اعصاب استفاده شده‌اند [۷]. کافین، تئوبرومین و تئوفیلین از معروف‌ترین

نقطه ذوب مدل IA9200 ساخت الکتروترمال انگلستان تعیین شده است. دستگاه طیف سنجی FT-IR مدل ALPHA شرکت Bruker انگلستان برای طیف‌های مادون قرمز (IR) Hydrogen- مورد استفاده قرار گرفت (قرص‌های KBr). طیف- (H-NMR¹) 1 nuclear magnetic resonance دستگاه اسپکترومتر 300 مدل DPX 300 شرکت Bruker انگلستان در حلal_d DMSO-d₆ ثبت و تمام مقادیر جابجایی شیمیایی با واحد (ppm) δ اندازه‌گیری شد. الگوهای شکافها به این صورت می‌باشد: s یکتایی؛ d دوتایی؛ m چندتایی؛ br پهن و dd دوتایی در دوتایی [۱۳]. روش سنتز ۳-۷-دی‌هیدرو-۲-هیدروکسی اتیل)-۱-پورین-۶-دی اون(۲):

ترکیب (۲) از تئوبرومین (۱) با استفاده از روش زیر سنتز شد [۱۴].

مقدار ۰/۰ گرم (۱ میلی مول) از تئوبرومین و ۰/۲۸ گرم (۲ میلی مول) پتابسیم کربنات به یک بالن ۵۰ میلی‌لیتری ته گرد منتقل شد و حجم ۵ میلی‌لیتر از حلal دی متیل فرم آمید به آن اضافه شد، مخلوط واکنش را تحت رفلaks قرار داده و سپس ۰/۱ میلی لیتر (۱ میلی‌مول) از ۲-کلرواتانول به آن افزوده شد. بعد از گذشت یک ساعت در حالی که مخلوط واکنش توسط چرخاننده مغناطیسی (مدل MR 3002 شرکت Heidolph ساخت آلمان) هم زده می‌شد، مجدداً ۰/۱ میلی لیتر (۱ میلی‌مول) از ۲-کلرواتانول به آن افزوده گردید. ظرف واکنش به مدت یک روز در دمای ۸۰ درجه سانتی‌گراد هم

دهند [۱۱]. بررسی‌های انجام شده نشان داده است که برخی از مشتقات تئوبرومین دارای فعالیت آنتی پرولیفراتیو می‌باشند. علاوه براین، افزایش نفوذ دوکسوروبیسین و فعالیت ضد تومور هم در حضور این مشتقات به دست آمده است [۲، ۱۲]. با توجه به اثرات گزارش شده از مشتقات تئوبرومین در درمان و کنترل سرطان، در مطالعه حاضر، ۱۲ ترکیب از مشتقات فنوکسی اتیل تئوبرومین با استخلاف موقعیت N₁ ساخته شد (شکل ۱) و فعالیت‌های سمیت سلولی آنها با استفاده از روش رنگ‌سنجی بر پایه (Methylthiazolyldiphenyl-tetrazolium bromide) MTT مورد بررسی قرار گرفت. سپس، مطالعات داکینگ مولکولی برای پیش‌بینی و پیشنهاد مکانیزم احتمالی فعالیت انجام شد.

مواد و روش‌ها

این مطالعه آزمایشگاهی در دانشکده داروسازی کرمان (سال ۱۳۹۶) صورت گرفت. همچنین این مطالعه دارای کد اخلاق از دانشگاه علوم پزشکی کرمان به شماره ثبتی IR.KMU.REC.1396.2104 می‌باشد. مواد اولیه تئوبرومین و ۲-کلرو اتانول از شرکت Acros Organics (Geel, Belgium) خریداری شدند. سایر مواد شیمیایی و حلal‌های مورد استفاده از شرکت مواد شیمیایی Merck Chemicals (Darmstadt, Germany) تهیه شد. تمام حلal‌ها دارای درجه خلوص بالایی بودند. پیشرفت واکنش با استفاده از روش کروماتوگرافی لایه نازک (TLC, Thin Layer Chromatography) بر روی صفحات سیلیکاژلی GF₂₅₄ بررسی و با استفاده از نور UV (۲۵۴ نانومتر) مشاهده شد. نقطه ذوب توسط دستگاه تعیین

Na₂SO₄ اضافه شد تا آب را به خود جذب کند. پس از صاف کردن، فاز آلی کنار گذاشته شد تا تشکیل کریستال دهد و در نهایت کریستالهای تشکیل شده در اتانول داغ حل شد و به آن زغال فعال اضافه گردید. پس از صاف کردن محلول زیر صافی کنار گذاشته شد تا تبلور مجدد صورت گیرد [۱۵].

سنتز مشتقات N-(فنوکسی اتیل) تئوبرومین (۱-۵a) با تبدیل شدن گروه هیدروکسیل در مولکول تئوبرومین به یک گروه ترک کننده خوب در مرحله قبل، در این مرحله تئوبرومین توسیلات محصول شماره (۳) با نوکلئوفیل‌های مختلف برای تولید محصولات مورد نظر ترکیب می‌شود.

ابتدا ۱/۵ میلی‌مول از ترکیبات (۱-۴a) توزین و به یک بالن ته گرد ۵۰ میلی‌لیتری منتقل شد. سپس مقدار ۱/۵ میلی‌مول تئوبرومین توسیلات توزین و به بالن افزووده شد. در ادامه ۸ میلی‌لیتر دی‌متیل‌فرمامید (DMF, Dimethylformamide) به عنوان حلال به ظرف واکنش اضافه شد. سپس ۰/۲ گرم (۱/۵ میلی‌مول) پتاسیم کربنات به ظرف واکنش افزووده شد. مخلوط واکنش در حالی که توسط چرخاننده مغناطیسی هم زده می‌شد، برای ترکیب (۱-۵a) به مدت ۲۴ ساعت تحت رفلaks قرار گرفت. مدت زمان همزدن برای ترکیبات (۱-۵b) و (۱-۵c) ۴۸ ساعت و برای بقیه ترکیبات (۱-۵d) و (۱-۵e) ۵۵ ساعت بود. محلول واکنش به بشر حاوی آب و یخ همراه با هم زدن افزوده شد و رسوب حاصل شد. رسوب حاصل با روش تبلور مجدد در محلول یک به یک دی کلرومتان و آب خالص سازی شد و ترکیبات (۱-۵a) به صورت کریستالهای سفید رنگ خالص تشکیل شدند. تمام ترکیبات

زده شد. رسوب سفید تشکیل شده پس از جدا سازی به آون منتقل شد تا کاملاً خشک شود.

برای خالص‌سازی محصول، به رسوب باقی مانده ۱۰ میلی‌لیتر اتیل استات داغ اضافه و به مدت ۱۵ دقیقه توسط چرخاننده مغناطیسی هم زده شد. محصول در اتیل استات حل می‌شود و ماده اولیه در رسوب باقی می‌ماند. در پایان، مخلوط حاصل را صاف کرده تا نمک و ماده اولیه جدا شوند. اتیل استات حاوی محصول را کنار گذاشته تا کریستال تشکیل شود و جهت استفاده در مراحل بعد در ظرف سربسته نگهداری شد [۱۶].

روش سنتز ۱-۷-دی‌هیدرو-۳-و-۶-دی‌متیل-۱-(۴-متیل بنزین سولفونات اتیل)-۱-پورین-۲-و-۶-دی‌او (۳): ترکیب (۳) با توجه به مراحل واکنش تعریف شده در ذیل از ترکیب ۱-۷-دی‌هیدرو-۳-و-۶-دی‌متیل-۱-(۴-هیدروکسی اتیل)-۱-پورین-۲-و-۶-دی‌او (۲) سنتز شد [۱۵].

ابتدا ۰/۲۲۴ گرم (۱ میلی‌مول) از محصول مرحله قبل ترکیب ۱-۷-دی‌هیدرو-۳-و-۶-دی‌متیل-۱-(۴-هیدروکسی اتیل)-۱-پورین-۲-و-۶-دی‌او (۲) را توزین کرده به همراه ۰/۱۹ گرم (۱ میلی‌مول) پاراتولوئن سولفونیل کلرید و ۰/۲ میلی‌لیتر (۱/۴ میلی‌مول) تری‌اتیل آمین به یک بالن ته گرد ۵۰ میلی‌لیتری منتقل شد. مخلوط واکنش در حالی که توسط چرخاننده مغناطیسی هم زده می‌شد، به مدت ۲۴ ساعت تحت رفلaks قرار گرفت. پس از انجام کامل واکنش به آن آب اضافه کرده و به کمک قیف دکانتور استخراج انجام شد، فاز آلی را جدا کرده و به آن نمک

مانی (در مقایسه با گروه کنترل) برای محاسبه مقدار IC₅₀ با استفاده از نرم افزار SPSS مورد استفاده قرار گرفت. مطالعات داکینگ مولکولی به منظور بررسی برهمکنش پروتئین-لیگاند با استفاده از نرم افزار AutoDock 4.2 (ADT) انجام شد [۱۷-۱۸]. گرید باکس بر اساس لیگاند وابسته با فاصله $\text{Å}/۳۷۵$ و در ابعاد $۶۰ \times ۶۰ \times ۶۰$ ساخته شد. هیدروژن قطبی به ساختار لیگاند اضافه شد. بارهای کلمن برای پروتئین و بارهای Gasteigere Huckel برای لیگاند محاسبه شد. پارامترهای ژنتیک الگوریتم برای ۱۰۰ اجرا، ۲۵۰۰۰۰ ارزیابی انرژی و ۱۵۰ میزان جمعیت تنظیم شد. ارزیابی نتایج با دسته بندی مجموعه‌های مختلف و با توجه به انرژی اتصال پیش‌بینی شده انجام شد. تجزیه و تحلیل خوشه‌ها در قسمت نتایج داکینگ با استفاده از root-mean-square deviation (RMSD) با قدرت Å ۲ انجام گرفت. تجزیه و تحلیل مدل‌های کمپلکس گیرنده/لیگاند پس از پیوند موفق ۵a و ۵'-nucleotidase به پارامترهایی مانند فاصله پیوند هیدروژنی، برهمکنش‌های آمینو اسید، انرژی اتصال و جهت‌گیری ترکیب داک شده در سایت فعل انجام شد [۱۹].

نتایج

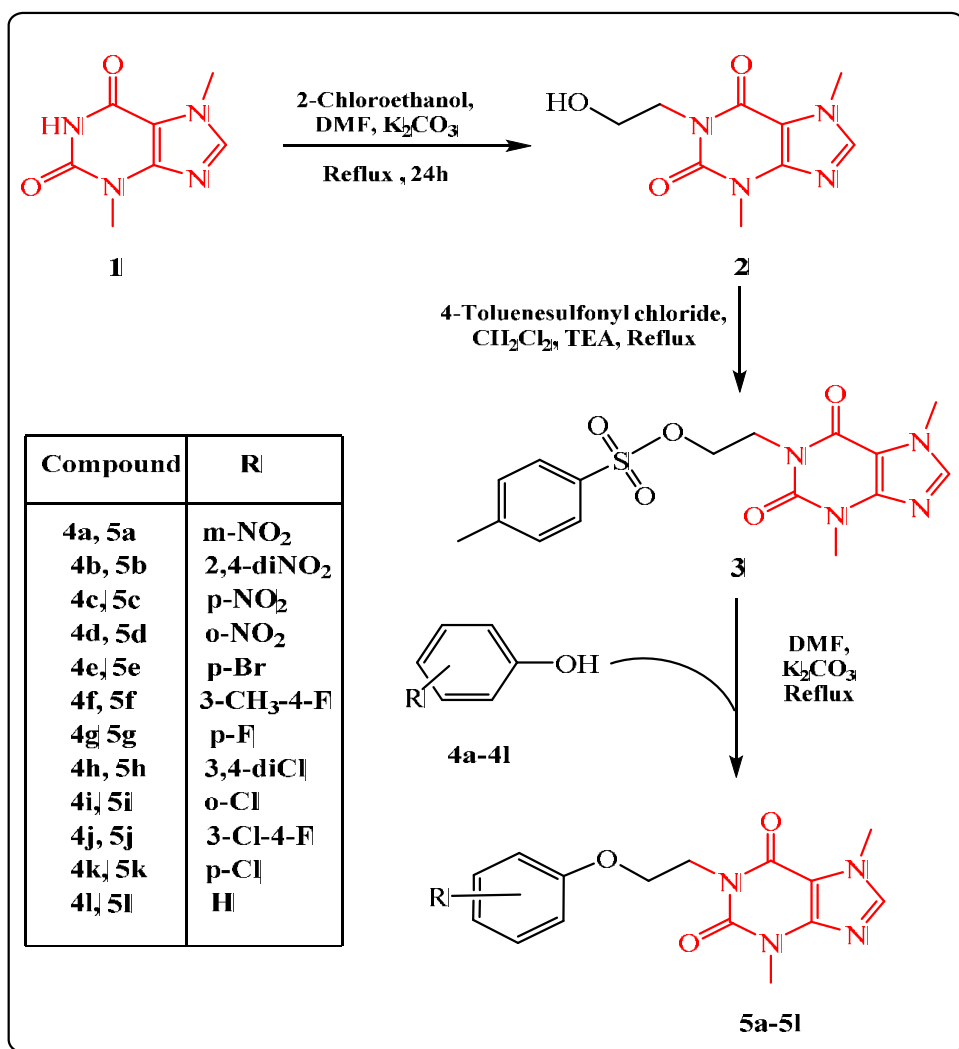
ترکیبات هدف (۵a-۱) طی سه مرحله واکنش از تغوبرومین (۱) ساخته (شکل ۱) و با روش‌های طیف سنجی FTIR و HNMR به طور کامل شناسایی شدند. ترکیبات ۲ و ۳ به ترتیب با بازده ۲۴ درصد و ۸۴ درصد سنتر شد و نقاط ذوب آن‌ها به ترتیب برابر با 190°C و 148°C محاسبه شد. این

با بازده خوب به دست آمدند. داده‌های فیزیکی و طیفی ترکیبات (۱-۵a) در جدول ۱ و جدول ۲ ذکر شده است [۱۶]. به منظور بررسی اثرات سمیت سلوی ترکیبات سنتر شده آزمون رنگ سنجی مبتنی بر MTT اعمال شد. چهار رد سلوی سرطان‌های ریه (A549)، پستان (MCF-7)، کبد (HepG2) و شبه نورون (PC12) توسط مرکز ذخایر زیستی ایران (IBRC) تهران، ایران تامین و در محیط کشت (DMEM) Dulbecco's Modified Eagle Medium سرم جنین گاوی (FBS) (٪۱۰) در یک انکوباتور CO_2 (٪۵) در دمای New Brunswick Galaxy 170S، شرکت گراد کشت شدند. سپس سلول‌ها در فاز رشد ۳۷ درجه سانتی گراد کشت شدند. سپس سلول‌ها در فاز رشد برداشت شدند و به طور جداگانه و در دمای ۳۷ درجه سانتی گراد کشت و به مدت ۲۴ ساعت در دمای ۳۷ درجه سانتی گراد انکوبه شدند که کاملاً به ته ظرف بچسبند. سپس، غلظت مورد نظر (۰-۱۰۰۰ میکرومولار) از هر یک از ترکیبات سنتر شده و دوکسوروبیسین (۸-۲۵۰ میکرومولار) به عنوان کنترل مثبت به چاهک‌های مربوطه اضافه شد و به مدت ۲۴ ساعت انکوبه گردید. پس از آن، محیط کشت هر چاهک با محلول (MTT) ۲۰ میکرو لیتر، ۵ میلی‌گرم در میلی‌لیتر) جایگزین و به مدت ۴ ساعت انکوبه شد تا کریستال‌های فورمازان تشکیل شوند. سپس با افزودن دی متیل سولفوكساید (DMSO) (۱۰۰ میکرولیتر) کریستال‌های فورمازان حل و جذب مربوط به هر چاهک در ۵۷۰ نانومتر به وسیله دستگاه میکروپلیت ریدر ثبت گردید. هر آزمایش سه بار تکرار شد و درصد زنده

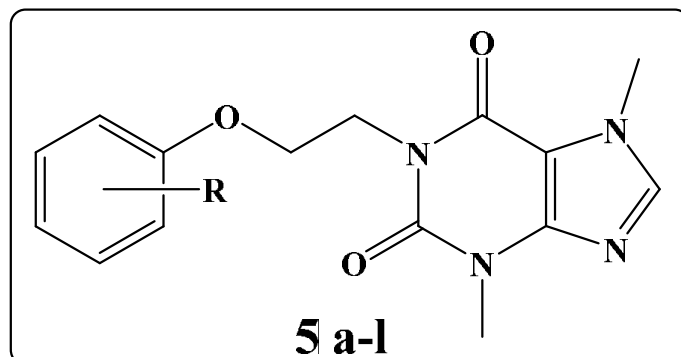
۱۴۲ طراحی و سنتز مشتق‌ات جدید ۱-(فنوکسی اتیل) تئوبرومین و ارزیابی سمیت سلولی آنها ...

فیزیکوشیمیایی و روش‌های طیف سنجی ترکیبات هدف (۱-۵a) در جدول ۱ و جدول ۲ ذکر شده است.

ترکیبات به صورت یک تک لکه بر روی کاغذ TLC با R_f های به ترتیب برابر با ۰/۲۱ و ۰/۴۴ دیده شدند (سیستم حلال: اتانول و n-هگزان (۱ : ۱)). داده‌های مربوط به خصوصیات



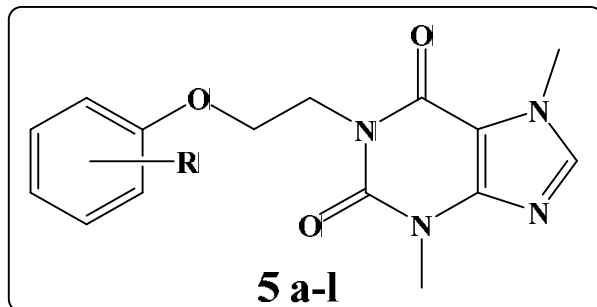
شکل ۱ - شماتیک سنتز واکنش عمومی برای سنتز ترکیبات هدف (۱-۵a-۱).

جدول ۱- نتایج حاصل از بررسی خصوصیات فیزیکی ترکیبات سنتز شده *5a-l*

ترکیب	استخلاف (R)	رنگ رسوب	بازدگی (%)	نقطه ذوب (°C)	فکتور ماندن (Rf)	ضریب توزیع اکتانول/آب	محاسباتی (clog p _a)
a	3-NO ₂ (-۳-نیترو)	سفید	۵۴	۱۸۷-۱۸۹	۰/۲۳	۲/۲۰	
b	2,4-diNO ₂ (-۴و-۴-دی نیترو)	زرد	۵۳	۲۲۷-۲۳۱	۰/۳۰	۱/۷۷	
c	4-NO ₂ (-۴-نیترو)	سفید	۶۵	۱۹۶-۱۹۹	۰/۳۹	۲/۲۰	
d	2-NO ₂ (-۲-نیترو)	زرد	۵۱	۱۷۱-۱۷۵	۰/۱۶	۱/۹۲	
e	4-Br(-۴-برمو)	سفید	۶۸	۱۶۲-۱۶۵	۰/۲۶	۳/۱۶	
f	4-F-3-CH ₃ (-۴-فلورو-۳-متیل)	قهوه ای	۶۶	۱۴۸-۱۵۲	۰/۴۸	۲/۹۴	
g	4-F(-۴-فلورو)	زرد	۶۳	۱۵۰-۱۵۳	۰/۴۵	۲/۴۴	
h	3,4-diCl(-۴و-۳-دی کلرو)	قهوه ای	۵۶	۱۵۸-۱۶۳	۰/۳۹	۳/۶۵	
i	2-Cl(-۲-کلرو)	سفید	۵۷	۱۷۱-۱۷۴	۰/۳۸	۲/۷۸	
j	4-F-3-Cl(-۴-فلورو-۳-کلرو)	سفید	۵۲	۱۴۸-۱۵۲	۰/۲۳	۳/۲۰	
k	4-Cl(-۴-کلرو)	سفید	۷۲	۱۶۹-۱۷۲	۰/۴۲	۳/۰۱	
l	H(هیدرو)	سفید	۶۴	۱۳۲-۱۳۶	۰/۴۲	۲/۱۵	

(a) لگاریتم محاسبه شده مربوط به ضریب توزیع بین n-اکтанول و آب است

جدول ۲- نتایج حاصل از آنالیز طیف سنجی مادون قرمز (FTIR) و رزونانس مغناطیس هسته‌ای (NMR) ترکیبات سنتز شده ۵a-l

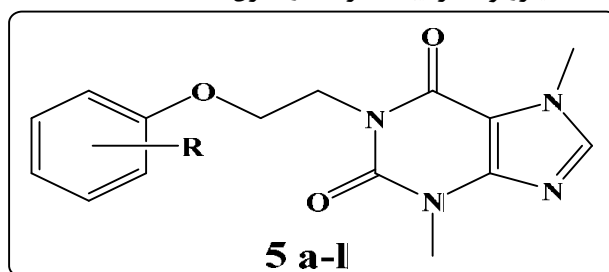


ترکیب	استخلاص (R)	FT-IR (KBr) ν_{\max} (cm ⁻¹)	¹ H NMR (300 MHz, DMSO- <i>d</i> ₆)	
			δ (ppm)	
a	(۳-نیترو) 3-NO ₂	1705/43 (C=O), 1653/64 (C=N), 1528/05, 1348/66 (NO ₂)	8/03 (1H, <i>s</i> , -N=CH-), 7/77–7/80 (1H, <i>m</i> , Ar-H), 7/70 (1H, <i>t</i> , <i>J</i> =2/1Hz, Ar-CH), 7/56 (1H, <i>t</i> , <i>J</i> =8.4Hz, Ar-CH), 7/39–7.43 (1H, <i>m</i> , Ar-CH), 4/29 (4H, <i>t</i> , <i>J</i> =3.6Hz, -CH ₂ -), 3/88 (3H, <i>s</i> , -N-CH ₃), 3/40 (3H, <i>s</i> , -N-CH ₃)	
b	(۴-دی نیترو) 2,4-diNO ₂	1706/12 (C=O), 1649/68 (C=N), 1532/17, 1339/74 (NO ₂)	8/70 (1H, <i>d</i> , <i>J</i> =2.7Hz, Ar-H), 8/46–8/50 (1H, <i>m</i> , Ar-H), 8/03 (1H, <i>s</i> , -N=CH-), 7/65 (1H, <i>d</i> , <i>J</i> =9.3Hz, Ar-H), 4/56 (2H, <i>t</i> , <i>J</i> =5.4Hz, -CH ₂ -), 4/28 (2H, <i>t</i> , <i>J</i> =5.4Hz, -CH ₂ -), 3/87 (3H, <i>s</i> , -N-CH ₃), 3/40 (3H, <i>s</i> , -N-CH ₃)	
c	(۴-نیترو) 4-NO ₂	1704/00 (C=O), 1647/82 (C=N), 1547/55, 1338/89 (NO ₂)	8/18 (2H, <i>d</i> , <i>J</i> =8/7Hz, Ar-H), 8/03 (1H, <i>s</i> , -N=CH-), 7/14 (2H, <i>d</i> , <i>J</i> =8/7Hz, Ar-H), 4/30 (4H, <i>d</i> , <i>J</i> =3.6Hz, -CH ₂ -), 3/88 (3H, <i>s</i> , -N-CH ₃), 3/41 (3H, <i>s</i> , -N-CH ₃)	
d	(۲-نیترو) 2-NO ₂	1702/22 (C=O), 1645/75 (C=N), 1521/69, 1346/04 (NO ₂)	8/03 (1H, <i>s</i> , -N=CH-), 7/82 (1H, <i>d</i> , <i>J</i> =7.2Hz, Ar-H), 7/62 (1H, <i>t</i> , <i>J</i> =6.9Hz, Ar-H), 7/41 (1H, <i>t</i> , <i>J</i> =7.8Hz, Ar-H), 7/10 (1H, <i>t</i> , <i>J</i> =6/9Hz, Ar-H), 4/37 (2H, <i>s</i> , -CH ₂ -), 4/26 (2H, <i>s</i> , -CH ₂ -), 3/88 (3H, <i>s</i> , -N-CH ₃), 3/41 (3H, <i>s</i> , -N-CH ₃)	
e	(۴-برمو) 4-Br	1706/28 (C=O), 1655/53 (C=N)	8/03 (1H, <i>s</i> , -N=CH-), 7/41–7/44 (2H, <i>m</i> , Ar-H), 6/90–6/93 (2H, <i>m</i> , Ar-H), 4/22–4/26 (2H, <i>t</i> , <i>J</i> =5.4Hz, -CH ₂ -), 4/12–4/17 (2H, <i>t</i> , <i>J</i> =6.3Hz, -CH ₂ -), 3/89 (3H, <i>s</i> , -N-CH ₃), 3/42 (3H, <i>s</i> , -N-CH ₃)	

f	(۴-فلورو-۳-متیل) 4-F-3-CH₃	1699/93 (C=O), 1660/63 (C=N), 1201/21 (C-F)	8/03 (1H, s, -N=CH-), 7/01 (1H, t, <i>J</i> =9.3Hz, Ar-H), 6/83–6/85 (1H, m, Ar-H), 6/73–6/78 (1H, m, Ar-H), 4/22 (2H, t, <i>J</i> =6.3Hz, -CH ₂ -), 4/10 (2H, t, <i>J</i> =6.3Hz, -CH ₂ -), 3/89 (3H, s, Ar-CH ₃), 3/42 (3H, s, -N-CH ₃), 2/18 (3H, s, -N-CH ₃).
g	(۴-فلورو) 4-F	1700/03 (C=O), 1661/21 (C=N), 1204/32 (C-F)	8/03 (1H, s, -N=CH-), 7/10 (2H, t, <i>J</i> =8.3Hz Ar-H), 6/94–6/98 (2H, m, Ar-H), 4/23 (2H, t, <i>J</i> =5.4Hz, -CH ₂ -), 4/13 (2H, t, <i>J</i> =5.7Hz, -CH ₂ -), 3/89 (3H, s, -N-CH ₃), 3/42 (3H, s, -N-CH ₃).
h	(۴-دی‌کلرو) 3,4-diCl	1707/17 (C=O), 1650/16 (C=N), 745/29 (C-Cl)	8/04 (1H, s, -N=CH-), 7/50 (1H, d, <i>J</i> =9Hz, Ar-H), 7/24 (1H, d, <i>J</i> =2.7Hz, Ar-H), δ =6/94–6/97 (1H, m, Ar-H), 4/23 (4H, t, <i>J</i> =3/9Hz, -CH ₂ -), δ =3/89 (3H, s, -N-CH ₃), 3/2 (3H, s, -N-CH ₃).
i	(۲-کلرو) 2-Cl	1700/95 (C=O), 1652/85 (C=N), 749/25 (C-Cl)	8/03 (1H, s, -N=CH-), 7/37–7/44 (1H, m, Ar-H), 7/26–7/32 (1H, m, Ar-H), 7/19–7/21 (1H, m, Ar-H), 6/92–7/01 (1H, m, Ar-H), 4/28 (4H, t, <i>J</i> =4.5Hz, -CH ₂ -), 3/89 (3H, s, -N-CH ₃), 3/42 (3H, s, -N-CH ₃).
j	(۴-فلورو-۳-کلرو) 4-F-3-Cl	1705/13 (C=O), 1662/48 (C=N), 1214/59 (C-F), 749/25 (C-Cl)	8/04 (1H, s, -N=CH-), 7/31 (1H, t, <i>J</i> =9Hz, Ar-H), 7/15–7/19 (1H, m, Ar-H), 6/92–6/97 (1H, m, Ar-H), 4/22 (2H, t, <i>J</i> =5.1Hz, -CH ₂ -), 4/18 (2H, t, <i>J</i> =4.8Hz, -CH ₂ -), 3/9 (3H, s, -N-CH ₃), 3/42 (3H, s, -N-CH ₃).
k	(۴-کلرو) 4-Cl	1709/98 (C=O), 1653/35 (C=N), 744/20 (C-Cl)	8/01 (1H, s, -N=CH-), 7/29 (2H, d, <i>J</i> =9Hz, Ar-H), 6/96 (2H, d, <i>J</i> =8.7Hz, Ar-H), 4/22 (2H, t, <i>J</i> =6Hz, -CH ₂ -), 4/14 (2H, t, <i>J</i> =5.7Hz, -CH ₂ -), 3/88 (3H, s, -N-CH ₃), 3/40 (3H, s, -N-CH ₃).
l	(هیدرو) H	1700/28 (C=O), 1658/00 (C=N)	8/03 (1H, s, -N=CH-), 7/25–7/33 (2H, m, Ar-H), 6/90–7/00 (3H, m, Ar-H), 4/25 (2H, t, <i>J</i> =7.2Hz, -CH ₂ -), 4/14 (2H, t, <i>J</i> =6Hz, -CH ₂ -), 3/89 (3H, s, -N-CH ₃), 3/42 (3H, s, -N-CH ₃).

آزمایش قرار گرفتند. مقادیر IC_{50} محاسبه شده در جدول ۳ گزارش شده است. نتایج به دست آمده نشان داد که مقادیر IC_{50} همه ترکیبات در مقایسه با دوکسوروبیسین به صورت معنی داری کمتر بودند.

ترکیبات سنتز شده برای بررسی اثرات سمیت سلولی آنها روی چهار رده سلولی سرطانی (A549، MCF-7، HepG2 و PC12) با استفاده از تست رنگ سنجی مبتنی بر MTT، در مقایسه با دوکسوروبیسین به عنوان داروی مرجع مورد جدول ۳-فعالیت‌های سمیت سلولی (IC_{50} (میکرومولار) ترکیبات سنتز شده و کنترل استاندارد

جدول ۳-فعالیت‌های سمیت سلولی (IC_{50} (میکرومولار) ترکیبات سنتز شده و کنترل استاندارد

ترکیب	استخلاف (R)	ردیف سلولی				میانگین**
		A549	MCF7	HEPG2	PC12	
a*	3-NO ₂ -نیترو	۴۱۸/۶۳	۵۱۰/۶۸	۳۸۱/۸۲	۴۵۵/۰۸	۴۴۱/۵۵
b*	(۲و۴-دی نیترو) 2,4-diNO ₂	۲۴۳/۰۹	۴۳۵/۰۴	۳۰۳/۸۳	۴۵۶/۷۹	۳۵۹/۶۹
c*	(۴-نیترو) 4-NO ₂	۳۷۳/۴۵	۱۶۷/۶۷	۵۹۵/۸۸	۴۶۱/۶۰	۳۹۹/۶۵
d*	(۲-نیترو) 2-NO ₂	۳۵۳/۱۸	۱۸۱/۱۴	۴۸۸/۱۰	۳۹۴/۶۸	۳۵۴/۲۸
e*	(۴-برمو) 4-Br	۸۶/۶۵	۱۶۱/۰۹	۵۵۲/۴۱	۲۸۷/۵۷	۲۷۱/۹۳
f*	(۴-فلورو-۳-متیل) 4-F-3-CH ₃	۴۲۳/۲۹	۵۱۶/۴۰	۳۶۹/۵۰	۴۵۲/۳۴	۴۴۲/۸۸
g*	(۴-فلورو) 4-F	۴۶۲/۸۸	۳۲۲/۱۴	۵۴۷/۳۶	۴۷۳/۴۴	۴۵۱/۴۶
h*	(۳,۴-دی کلرو) 3,4-diCl	۲۴۴/۳۴	۴۵۱/۰۸	۳۵۰/۲۴	۴۵۴/۵۰	۳۷۵/۰۴
i*	(۲-کلرو) 2-Cl	۲۹۱/۵۵	۵۳۵/۶۱	۳۹۶/۹۷	۵۳۳/۱۳	۴۳۹/۳۲
j*	(۴-فلورو-۳-کلرو) 4-F-3-Cl	۴۲۶/۰۸	۵۶۷/۶۷	۳۷۶/۵۸	۴۷۴/۰۲	۴۶۱/۰۹
k*	(۴-کلرو) 4-Cl	۴۵۲/۸۰	۳۱۳/۰۹	۵۲۷/۷۲	۴۵۲/۲۶	۴۳۶/۴۷
l*	(هیدرو) H	۳۲۹/۹۱	۵۱۴/۷۲	۲۶۳/۶۵	۳۵۲/۸۹	۳۶۵/۲۹
Doxorubicin	-	۳/۰۴	۲/۵۶	۲/۶۰	۲/۶۰	۲/۷۰

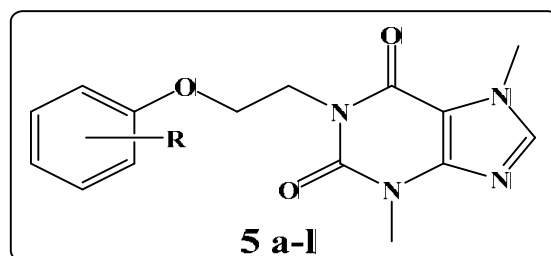
* برای تمام ترکیبات مورد آزمایش میزان IC_{50} گزارش شده در مقایسه با دوکسوروبیسین به صورت معنی‌دار متفاوت بود ($p < 0.05$).

** میانگین مقادیر IC_{50} محاسبه شده برای ترکیبات سنتز شده

دارد، شناسایی شود. در ابتدا، با استفاده از روش داکینگ مولکولی امکان اتصال ترکیبات سنتز شده با آنزیم‌های ecto-5'-nucleotidase .Phosphodiesterase (1XON) Adenosine deaminase (1A4I) و (4H2I) مورد بررسی قرار گرفت. انرژی‌های پیوندی این ترکیبات و پروتئین‌های هدف در جدول ۴ گزارش شده است.

در این مطالعه، ۱۲ ترکیب از مشتقات فنوکسی اتیل تئوبرومین با استخلاف در موقعیت N طراحی شده است. بر اساس مقالاتی که در مورد فعالیت ضد سرطان برخی از مشتقات تئوبرومین که قبل اساخته و گزارش شده اند [۲۰، ۸]. در این مطالعه داکینگ مولکولی صورت گرفت تا پروتئین هدف ضد سرطانی که توانایی اتصال با ترکیبات سنتز شده را

جدول ۴- انرژی‌های اتصال (kcal/mol) بین پروتئین هدف و ترکیبات طراحی شده.



ترکیب	استخلاف (R)	کد PDB مربوط به پروتئین هدف		
		1A4I ^a	4H2I ^b	1XON ^c
a	۳-نیترو	-۶/۴۶	-۸/۴۲	-۶/۴۴
b	۲,۴-diNO ₂	-۵/۷۶	-۸/۳۶	-۵/۸۳
c	۴-NO ₂	-۵/۶۰	-۷/۸۵	-۷/۲۱
d	۲-نیترو	-۶/۶۶	-۷/۷۴	-۶/۵۳
e	4-Br	-۷/۳۴	-۷/۴۷	-۸/۰۱
f	4-F-3-CH ₃	-۶/۷۴	-۷/۱۶	-۷/۳۵
g	۴-فلورو	-۶/۸۴	-۷/۰۹	-۷/۲۵
h	3,4-diCl	-۷/۵۶	-۷/۷۰	-۸/۱۰
i	2-Cl	-۷/۲۶	-۷/۵۰	-۷/۴۰
j	4-F-3-Cl	-۶/۷۸	-۷/۲۲	-۷/۱۰
k	4-Cl	-۷/۳۷	-۷/۳۹	-۷/۳۳
l	H(هیدرو)	-۶/۹۰	-۶/۹۰	-۷/۱۹

Phosphodiesterase (a) Ecto-5'-nucleotidase (e5NT) (b) Tetrahydrofolate dehydrogenase/cyclohydrolase (c) Adenosine deaminase (4H2I)

فناوری‌های استخلاف شده متفاوت بر اساس خواص الکترونیکی و حجم استخلاف (۴a-1) انتخاب شدند. بر اساس این فاکتورها، دوازده ساختار جدید از مشتقات تئوبرومین سنتز شد. سپس، ترکیبات (۵a-1) با استفاده از روش‌های طیف

بحث

در این مطالعه دوازده ترکیب از مشتقات فنوکسی اتیل تئوبرومین با استخلاف در موقعیت N طراحی و ساخته شد. برای درک کامل اثر استخلاف بر فعالیت سمیت سلولی،

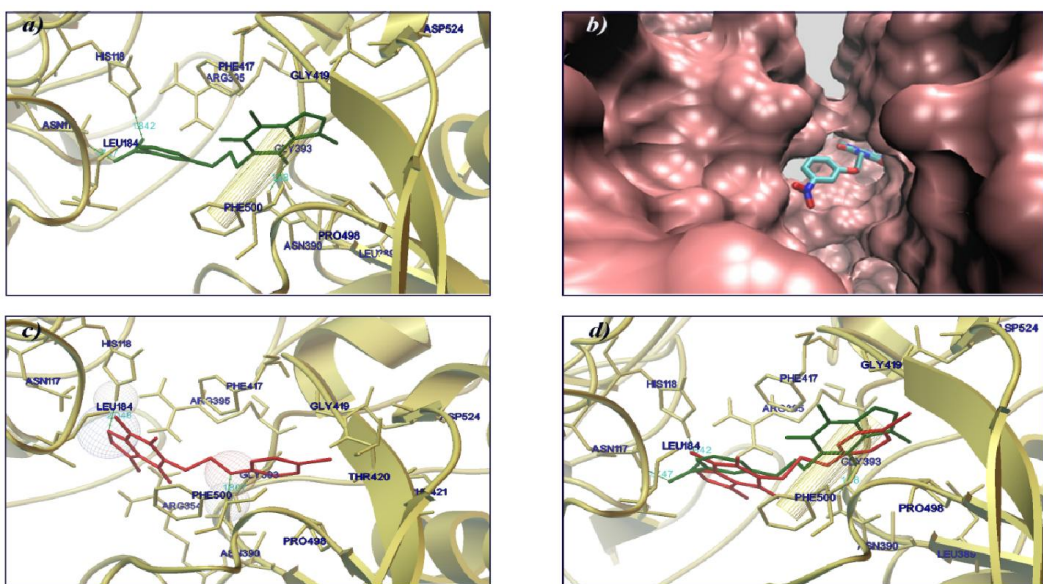
است. متقابلاً، هر چه خاصیت الکترون کشنده‌گی هالوژن بیشتر باشد قدرت سمیت سلولی کمتر خواهد بود. بنابراین، ترتیب فعالیت استخلافها به صورت $\text{Br} > \text{Cl} > \text{F}$ مشخص شد. در ترکیباتی که دارای استخلاف نیترو هستند، به نظر می‌رسد که ترکیبات با استخلاف در موقعیت اورتو و پارا دارای اثر سمیت سلولی بهتری نسبت به ساختارهای متا و نیترو هستند. از این $\text{o-NO}_2 > \text{o,p-diNO}_2 > \text{p-NO}_2$ ره، ترتیب فعالیت به صورت $\text{m-NO}_2 > \text{p-NO}_2 > \text{m-NO}_2$ وجود یک گروه الکیل روی حلقه فنیل، فعالیت سمیت سلولی را افزایش می‌دهد، همان‌طور که در ترتیب فعالیت یافت شده مربوط به استخلافها $\text{4-F-3-methyl} > \text{4-F-3-Cl-4-F}$ دیده می‌شود. به طور کلی، به نظر می‌رسد که قرار دادن گروه هالوژن لیپوفیل بر روی حلقه نسبت به گروه‌های قطبی هیدروفیلی مانند نیترو برتری دارد. با مقایسه اثرات سمیت سلولی ترکیبات سنتز شده در این مطالعه (محدوده IC_{50} برابر با $595/88$ تا $86/65$ میکرومولار) با یک سری از مشتقات تئوفیلین-7-استیک اسید (محدوده IC_{50} برابر با $330/4$ تا $1051/9$ میکرومولار) می‌توان به این نکته اشاره کرد که ترکیبات مورد مطالعه دارای اثرات ضد پرولیفراطیو بهتری می‌باشند [۲۴]. این در حالی است که یک سری از مشتقات مرکاپتو گزانتین اثرات سمیت سلولی بسیار خوبی بر روی K562 و MCF-7 از خود نشان داده‌اند [۲۵]. هم‌چنین بررسی اثرات سمیت سلولی مشتقات گزانتین سنتز شده در مطالعه Hisham و همکاران نشان داد که ترکیبات واجد گروه‌های چربی دوست در موقعیت N-1 قادر بودند با قدرت بالای

سنجدی HNMR و FTIR به طور کامل شناسایی شدند. در مطالعه‌ای مشابه که در سال ۲۰۱۹ توسط Hisham و همکاران صورت گرفت یک سری از ترکیبات و مشتقات حلقه گزانتین طراحی و ساخته شدند و ساختار آنها به کمک روش‌های طیف سنجی از جمله HNMR و FTIR شناسایی شدند [۲۱]. و همکاران در سال ۲۰۱۹ و به دنبال طراحی جهت ساخت ترکیبات مهارکننده هیستون لیزین دمتیلاز اختصاصی (Histone lysine specific demethylase 1, LSD1) از مشتقات گزانتین را سنتز نمودند که از بین آنها ترکیب شماره ۴ توانست با قدرت مناسبی آنزیم هدف را مهار کرده و سمیت سلولی بالایی روی رده سلولی مورد مطالعه نشان داد [۲۲]. Basu و همکاران در سال ۲۰۱۷ دسته‌ای از مشتقات گزانتین به عنوان عوامل مهارکننده گیرنده آدنوزین با پتانسیل درمان بیماری آسم را طراحی و با موقفيت سنتز نمودند. مطالعه آنها نشان داد که جایگزین کردن گروه‌های لیپوفیل خصوصاً حلقه فنیل واجد گروه‌های عاملی در موقعیت متا در موقعیت N-1 و N-3 حلقه گزانتین می‌تواند به اتصال بهتر ترکیب به گیرنده آدنوزین کمک نماید [۲۳].

بررسی سمیت سلولی این دسته از ترکیبات بر روی 4-Rde-SL سلول سلطانی نشان داد که ترکیبات دارای اثرات سمیت خوبی بودند و بیشترین فعالیت سمیت سلولی روی رده‌های سلولی A549 و MCF-7 نشان داده شد. آن‌ها هم‌چنین فعالیت سمیت سلولی خوبی در برابر رده‌های سلولی HepG2 و PC12 نشان دادند (جدول ۳). در ترکیباتی که در موقعیت پارا آنها استخلاف هالوژن قرار دارد، خاصیت چربی دوستی و بزرگ بودن هالوژن با فعالیت سمیت سلولی ترکیب مرتبط

هیدروژن بین اتم اکسیژن گروه نیترو و اتم N اسیدهای آmine بهینه (HT29)، کولون (MCF7)، رشد ردهای سلولی سرطان پستان (A549) و ریه (A549) را مهار نماید [۲۱].

هیدروژن بین اتم اکسیژن گروه کربونیل و اسید آmine (e5NT) بهینه (CD73) هم شناخته شده است، بر روی سطح سلول متصل شده و هیدرولیز AMP به آدنوزین را کاتالیز می‌کند و به عنوان تنظیم‌کننده مسیر سیگنالینگ آدنوزین شناخته شده است. مهارکننده‌های e5NT به عنوان کاهش دهنده رشد تومور و متاستاز گزارش شده‌اند [۲۶]. ترکیب ۵a بهترین انرژی اتصال را نسبت به e5NT(4H2I) (۸/۴۲ kcal/mol) به دست آمد (AMPCP; α,β -لیگاند اصلی مشابه ۵a) (MTT)، با این تفاوت که در جایگاه فعال نسبت به یکدیگر به صورت سر و ته برهم کنش نشان داده‌اند (شکل ۲D).



شکل ۲- برهم‌کنش بین ترکیب ۵a و ۵c با آنزیم Human ecto-5'-nucleotidase (e5NT) (4H2I) شده است. قسمت‌های باقیمانده از زنجیره α با رنگ آبی تیره نشان داده شده است. برهم‌کنش‌های پیوند هیدروژنی توسط خط سیاه نشان داده شد. (a) ساختار سبز، اولین کانفورمر خوش‌ای اول ترکیب ۵a با آنزیم e5NT (4H2I) (b) حالت اتصال ترکیب ۵a با آنزیم e5NT (c) ساختار سبز و قرمز، به ترتیب، اولین کانفورمر خوش‌ای اول ۵c (d) ساختار سبز و قرمز، به ترتیب، اولین کانفورمر خوش‌ای اول ۵a و ۵c مشتقه گزانتین سنتز شده با گیرنده فاکتور رشد اپیتلیالی Hisham و همکاران مشخص گردید که بهترین اتصال

آنزیم (e5NT) بهینه (شناخته شده است، بر روی سطح سلول مهارکننده‌های e5NT به آدنوزین را کاتالیز می‌کند و به عنوان تنظیم‌کننده مسیر سیگنالینگ آدنوزین شناخته شده است. مهارکننده‌های e5NT به عنوان کاهش دهنده رشد تومور و متاستاز گزارش شده‌اند [۲۶]. ترکیب ۵a بهترین انرژی اتصال را نسبت به e5NT(4H2I) (۸/۴۲ kcal/mol) به دست آمد (AMPCP; α,β -لیگاند اصلی مشابه ۵a) (امونیوم پیوند methyleneadenosine-5'-diphosphate)

سلولی سرطانی، بررسی مکانیسم‌های مولکولی ایجاد سمیت، انجام مطالعات در مدل حیوانی نیز صورت گیرد.

نتیجه‌گیری

به طور خلاصه، ۱۲ ترکیب از مشتقات فنوکسی اتیل تئوبرومین با استخلاف در موقعیت N1 طراحی و ساخته شد. بررسی سمیت سلولی نشان داد که ترکیبات دارای اثرات سمیت خوبی بودند و بیشترین فعالیت سمیت سلولی روی رده‌های سلولی A549 و MCF-7 نشان داده شد. با توجه به نتایج حاصل از مطالعات داکینگ مولکولی بهترین ترکیبات برروی آنزیم e5NT (4H2I) ecto-5'-nucleotidase (e5NT) ۵a بود که برهمکنش‌های مشابهی با لیگاند اصلی در جایگاه ۵a بود که برهمکنش‌های مشابهی با عنوان بهترین ترکیب در برابر رده‌های سلولی سرطانی A549 با میزان IC₅₀ برابر با ۸۶/۶۵ میکرو مولار معرفی شد.

تشکر و قدردانی

این تحقیق به واسطه گرنت پژوهشی ارائه شده توسط معاونت پژوهشی دانشگاه علوم پزشکی کرمان پشتیبانی شد و نویسنده‌گان از مرکز تحقیقات فارماسیوتیکس، مؤسسه نوروفارماکولوژی، دانشگاه علوم پزشکی کرمان (کرمان، ایران) به دلیل تأمین هزینه مورد نیاز این طرح پژوهشی سپاس‌گزاری می‌نمایند.

در بخش واحد خاصیت تیروزین کینازی این گیرنده صورت گرفته است [۲۱]. در مطالعه Ma و همکاران که سنتز و بررسی اثر مشتقات گرانتین با خاصیت مهار آنزیم LSD1 را انجام دادند مشخص گردید که این ترکیبات قادرند با اسیدهای آمینه Val333A، Val811A و Met332A ارتباط برقرار کرده و با انرژی پیوندی بسیار مناسبی این آنزیم را مهار نمایند [۲۲]. در مطالعه Basu و همکاران اثر مهاری مشتقات گرانتین سنتز شده روی گیرنده آدنوزین مورد ارزیابی قرار گرفت. نتایج حاصل نشان داد که مؤثرترین ترکیب قادر بود با اسید آمینه Asn254 در ساختار این گیرنده پیوند هیدروژنی برقرار نماید و با انرژی اتصال مناسب در کنار پیوند π-π با اسید آمینه Phe173 این گیرنده را مهار نماید [۲۳].

از جمله محدودیت‌های موجود در این طرح می‌توان به عدم تأمین به موقع منابع مالی و در دسترس نبودن تجهیزات دستگاهی مانند طیف سنجی جرمی اشاره نمود. از طرفی عدم امکان تأمین هزینه جهت آماده سازی روش‌های آنژیماتیک جهت یافتن مکانیسم مولکولی بررسی اثرات سمیت سلولی این دسته از ترکیبات نیز حائز اهمیت می‌باشد. همچنین پیشنهاد می‌گردد اثرات سمیت سلولی بر روی سایر رده‌های

References

- [1] Lemke TL, Williams DA. Foye's Principles of Medicinal Chemistry: 7th ed., Baltimore, Wolters

Kluwer Health/Lippincott Williams & Wilkins; 2013.
pp. 283-309.

- [2] Kakuyama (nee Iwazaki) A, Sadzuka Y. Effect of methylxanthine derivatives on doxorubicin transport and antitumor activity. *Curr Drug Metab* 2001; 2(4): 379–95.
- [3] Neidle S. Cancer Drug Design and Discovery: 2nd ed., London, Elsevier Science; 2014. pp. 3-52.
- [4] Almeida CA, Barry SA. Cancer: Basic Science and Clinical Aspects: First ed., Oxford, Wiley; 2010. Pp. 3-64.
- [5] Kavi Kishor PB, Bandopadhyay R, Suravajhala P. Agricultural Bioinformatics. illustrated First ed., New Delhi, Springer; 2014. pp. 283-291.
- [6] Krasnov A. Solubility and physical stability improvement of natural xanthine derivatives. 2nd ed., Finland: University of Helsinki; 2011. Pp. 35-74.
- [7] Skwierawska A, Pazik A. Inhibition of impurities formation in the synthesis of N-alkyltheobromines stimulated by microwave irradiation. Cationic and anionic response of membrane electrodes. *J Incl Phenom Macrocycl Chem* 2012; 74(1-4): 145–55.
- [8] Georgieva M, Kondeva-Burdina M, Mitkov J, Tzankova V, Momekov G, Zlatkov A. Determination of the Antiproliferative Activity of New Theobromine Derivatives and Evaluation of Their In Vitro Hepatotoxic Effects. *Anticancer Agents Med Chem* 2016; 16(7): 925–32.
- [9] Motegi T, Katayama M, Uzuka Y, Okamura Y. Evaluation of anticancer effects and enhanced doxorubicin cytotoxicity of xanthine derivatives using canine hemangiosarcoma cell lines. *Res Vet Sci* 2013; 95(2): 600–5.
- [10] Suravajhala R, Poddar R, Nallapeta S, Ullah S. Xanthine Derivatives: A Molecular Modeling Perspective. *Agricultural Bioinformatics*: First ed., New Delhi, Springer; 2014. pp. 283-91.
- [11] Fingert HJ, Pu AT, Chen Z, Googe PB, Alley MC, Pardee AB. In vivo and in vitro enhanced antitumor effects by pentoxifylline in human cancer cells treated with thiotapec. *Cancer Res* 1988; 48(15): 4375–81.
- [12] Sadzuka Y, Iwazaki A, Miyagishima A, Nozawa Y, Hirota S. Effects of methylxanthine derivatives on adriamycin concentration and antitumor activity. *Cancer Sci* 1995; 86(6): 594–9.
- [13] Pavia DL, Lampman GM, Kriz GS, Vyvyan JA. Introduction to Spectroscopy: 4th ed., Belmont, Cengage Learning; 2008. Pp. 233-328.
- [14] Panzner MJ, Hindi KM, Wright BD, Taylor JB, Han DS, Youngs WJ, et al. A theobromine derived silver N-heterocyclic carbene: synthesis, characterization,

- and antimicrobial efficacy studies on cystic fibrosis relevant pathogens. *Dalton transactions (Cambridge, England : 2003)* 2009; (35): 7308-13.
- [15] Hesek D, Světlík J. The Convergent Synthesis of [1, 3]-Thiazino [2, 3-f]-Theophylline and [1, 3]-Thiazino [3, 2-e] Theophylline Ring Systems. *Synthetic Communications* 1988; 18(11): 1299-310.
- [16] Jawale DV, Pratap UR, Mane RA. Synthetic Route for New (Z)-5-[4-(2-Chloroquinolin-3-yl)Methoxy]benzylidinethiazolidine-2,4-diones. *Bull Korean Chem Soc* 2011; 32(7): 2171-7.
- [17] Morris GM, Huey R, Lindstrom W, Sanner MF, Belew RK, Goodsell DS, et al. AutoDock4 and AutoDockTools4: Automated docking with selective receptor flexibility. *J Comput Chem* 2009; 30(16): 2785-91.
- [18] Sanner MF. Python: a programming language for software Integration and development. *J Mol Graph Model* 1999; 17: 57-61.
- [19] Ameri A, Khodarahmi G, Forootanfar H, Hassanzadeh F, Hakimelahi GH. Hybrid Pharmacophore Design, Molecular Docking, Synthesis, and Biological Evaluation of Novel Aldimine-Type Schiff Base Derivatives as Tubulin Polymerization Inhibitor. *Chem Biodivers* 2018; 15(3): e1700518.
- [20] Lee HJ, Lee KW, Kang KS, Kim DY, Park HH, Lee MJ, et al., inventors; Lotte Confectionery Co Ltd, assignee. Theobromine with an anti-carcinogenic activity. Seoul, KR patent US6693104B2. 2004.
- [21] Hisham M, Youssif BGM, Osman EEA, Hayallah AM, Abdel-Aziz M. Synthesis and biological evaluation of novel xanthine derivatives as potential apoptotic antitumor agents. *European Journal of Medicinal Chemistry* 2019; 176: 117-28.
- [22] Ma Q-S, Yao Y, Zheng Y-C, Feng S, Chang J, Yu B, et al. Ligand-based design, synthesis and biological evaluation of xanthine derivatives as LSD1/KDM1A inhibitors. *European Journal of Medicinal Chemistry* 2019; 162: 555-67.
- [23] Basu S, Barawkar DA, Ramdas V, Patel M, Waman Y, Panmand A, et al. Design and synthesis of novel xanthine derivatives as potent and selective A2B adenosine receptor antagonists for the treatment of chronic inflammatory airway diseases. *European Journal of Medicinal Chemistry* 2017; 134: 218-29.
- [24] Voynikov Y, Momekov G, Peikov P, Stavrakov G. Cytotoxicity assay on several theophylline-7-acetic acid amides with amino acids. *Pharmacia* 2014; 61: 12-6.

- [25] Sultani HN, Ghazal RA, Hayallah AM, Abdulrahman LK, Abu-Hammour K, AbuHammad S, *et al.* Inhibitory Effects of New Mercapto Xanthine Derivatives in Human mcf7 and k562 Cancer Cell Lines. *Journal of Heterocyclic Chemistry* 2017; 54(1): 450-6.
- [26] Al-Rashida M, Qazi SU, Batool N, Hameed A, Iqbal J. Ectonucleotidase inhibitors: a patent review (2011-2016). *Expert Opin Ther Pat* 2017; 27(12): 1291–304.

Design and Synthesis of Novel N1-(Phenoxyethyl) Theobromine Derivatives and Evaluation of Their Cytotoxicity by *in-vitro* Method with Molecular Docking Study: A Laboratory Study

E. Faghih-Mirzaei¹, A. Ameri², H. Forootanfar³, H. S. Rouholamini⁴, M. Shamsadini-pour⁵, M. Jafari⁶

Received: 08/09/2019 Sent for Revision: 26/10/2019 Received Revised Manuscript: 15/02/2020 Accepted: 18/02/2020

Background and Objectives: Cancer, one of the global health problems, has been introduced as one of the main death causes worldwide. Xanthine derivatives have been identified as effective compounds for prevention and treatment of cancer. In this study, a series of novel phenoxy ethyl theobromine derivatives were designed with N1 positioning and their cytotoxic activity was evaluated. Also, molecular docking studies were performed to predict the possible action mechanism of these compounds.

Materials and Methods: In the present laboratory investigation, compounds 2, 3, and 5a-1 were initially synthesized. The cytotoxicity of all new synthesized compounds was studied by MTT (methylthiazolyldiphenyl-tetrazolium bromide) -based colorimetric assay against 4 human cancer cell lines. Autodock software was used to determine the binding energies of these structures on human tetrahydrofolate reductase, human octo-5'-nucleotidase (e5NT) and human phosphodiesterase enzymes. The obtained data were analyzed using one-way analysis of variance.

Results: The results of docking studies showed acceptable binding energy (-8.42 kcal/mol) against e5NT. The results of cytotoxicity analysis showed that the greatest effect of cytotoxicity was against A549 and MCF-7 cells (compound 5e with IC₅₀ values of 86.65 µM and 161.09 µM, respectively).

Conclusion: The results of molecular docking studies showed acceptable binding energy against the octo-5'-nucleotidase enzyme. Among the synthesized derivatives, compound 5a with the lowest ΔG level (-8.42 kcal/mol) was selected as the best inhibitor of this enzyme. Appropriate effects of cytotoxicity were observed at different concentrations of the synthesized compounds on MCF7 and A549 cell lines.

Key words: Cytotoxicity, Molecular modeling, Theobromine derivatives, Synthesis

Funding: This study was funded by Kerman University of Medical Sciences.

Conflict of interest: None declared.

Ethical approval: The Ethics Committee of Kerman University of Medical Sciences approved the study (IR.KMU.REC.1396.2104).

How to cite this article: Faghih-Mirzaei E, Ameri A, Forootanfar H, Rouholamini H S, Shamsadini-pour M, Jafari M. Design and Synthesis of Novel N1-(Phenoxyethyl) Theobromine Derivatives and Evaluation of Their Cytotoxicity by *in-vitro* Method with Molecular Docking Study: A Laboratory Study. *J Rafsanjan Univ Med Sci* 2020; 19 (2): 137-54. [Farsi]

1- Assistant Prof., Dept. of Medicinal Chemistry, Faculty of Pharmacy, Kerman University of Medical Sciences, Kerman, Iran
ORCID: 0000-0001-5109-2644

2- Assistant Prof., Dept. of Medicinal Chemistry, Faculty of Pharmacy, Kerman University of Medical Sciences, Kerman, Iran
ORCID: 0000-0002-0910-1516

(Corresponding Author) Tel: (034) 31325172, Fax: (034) 31325003, E-mail: al_ameri@kmu.ac.ir; ameri60@gmail.com

3- Associate Prof., Pharmaceutical Sciences and Cosmetic Products Research Center, Kerman University of Medical Sciences, Kerman, Iran,
ORCID: 0000-0003-2072-421X

4- Pharm. D., Dept. of Medicinal Chemistry, Faculty of Pharmacy, Kerman University of Medical Sciences, Kerman, Iran
ORCID: 0000-0003-1540-2507

5- MSc in Organic Chemistry, Pharmaceutics Research Center, Faculty of Pharmacy, Kerman University of Medical Sciences, Kerman, Iran,
ORCID: 0000-0002-9239-9631

6- MSc in Microbiology, Herbal and Traditional Medicine Research Center, Kerman University of Medical Sciences, Kerman, Iran
ORCID: 0000-0003-4907-269X